

在运动控制领域,由于执行机构的限制,只能提供有限的控制力矩,很容易产生控制输入受限问题,过大的控制律值难以实现,该问题在某种程度上将影响控制系统的稳定性和控制性能,甚至使得整个控制系统不稳定。如何在控制输入限制的条件下实现有效的控制算法设计,是一个很有意义的命题,这就是“控制输入饱和”问题。

3.1 控制输入受限条件下的滑模控制分析

3.1.1 基本原理

假设被控对象为

$$\begin{cases} \dot{x}_1 = x_2 \\ \dot{x}_2 = f(x, t) + bu + dt \end{cases} \quad (3.1)$$

其中, $b \neq 0$; dt 为干扰, $|dt| \leq D$; u 为受限的控制量。

取最大控制输入值为 u_{\max} , $u_{\max} > 0$, $\Delta u = u - v$, $u = \text{sat}(v)$, 控制输入饱和函数 $\text{sat}(v)$ 表示为

$$\text{sat}(v) = \begin{cases} u_{\max}, & v > u_{\max} \\ v, & |v| \leq u_{\max} \\ -u_{\max}, & v < -u_{\max} \end{cases} \quad (3.2)$$

控制输入饱和函数示意图如图 3.1 所示。

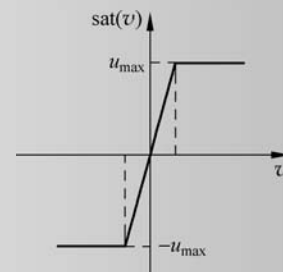


图 3.1 控制输入受限函数示意图

3.1.2 控制器设计与分析

通过定义辅助分析系统,采用输入饱和误差动态放大的方法,可实现一种基于控制输入抗饱和的滑模控制,闭环控制系统示意图如图 3.2 所示。

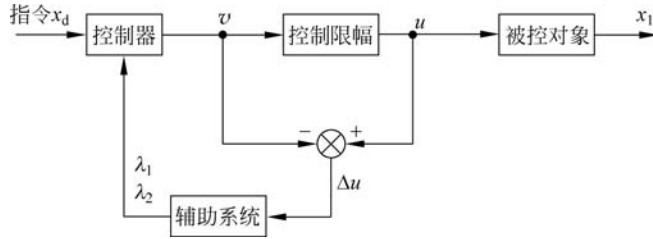


图 3.2 基于控制受限下的闭环控制系统

通过设计一个稳定的自适应辅助系统, 可实现控制饱和的补偿^[1]。设计辅助系统为

$$\begin{cases} \dot{\lambda}_1 = -c_1\lambda_1 + \lambda_2 \\ \dot{\lambda}_2 = -c_2\lambda_2 + b\Delta u \end{cases} \quad (3.3)$$

式(3.3)可写成

$$\dot{\lambda} = A\lambda + B\Delta u$$

$$\text{其中, } A = \begin{bmatrix} -c_1 & 1 \\ 0 & -c_2 \end{bmatrix}, B = \begin{bmatrix} 0 \\ b \end{bmatrix}.$$

为了保证 $t \rightarrow \infty$ 时, $\lambda_i \rightarrow 0$, 需要 A 为 Hurwitz, 即需要 $c_1 > 0, c_2 > 0$, 并且为了防止 Δu 过大造成系统式(3.3)不稳定, 需要保证 c_1 和 c_2 足够大。

取控制目标为 $x_1 \rightarrow x_d$, x_d 为角度指令信号。定义角度误差为

$$e = x_1 - x_d - \lambda_1 \quad (3.4)$$

则 $\dot{e} = \dot{x}_1 - \dot{x}_d - \dot{\lambda}_1 = x_2 - \dot{x}_d - \lambda_2 + c_1\lambda_1$ 。

滑模函数为

$$s = ce + \dot{e} \quad (3.5)$$

其中, $c > 0$ 。

于是

$$\begin{aligned} \dot{s} &= c\dot{e} + \ddot{e} = c\dot{e} + \ddot{x}_1 - \ddot{x}_d - \ddot{\lambda}_1 \\ &= c\dot{e} + f + bu + dt - \ddot{x}_d - (-c_1\dot{\lambda}_1 + \dot{\lambda}_2) \\ &= c\dot{e} + f + bu + dt - \ddot{x}_d + c_1(-c_1\lambda_1 + \lambda_2) - (-c_2\lambda_2 + b\Delta u) \\ &= c\dot{e} + f + bv + dt - \ddot{x}_d + c_1(-c_1\lambda_1 + \lambda_2) + c_2\lambda_2 \end{aligned}$$

设计控制器为

$$v = \frac{1}{b}(-c\dot{e} - f + \ddot{x}_d - c_1(-c_1\lambda_1 + \lambda_2) - c_2\lambda_2 - \eta \operatorname{sgn}(s)) \quad (3.6)$$

其中, $\eta \geq D$ 。

于是

$$\dot{s} = dt - \eta \operatorname{sgn}(s)$$

定义 Lyapunov 函数

$$V = \frac{1}{2}s^2$$

则

$$\dot{V} = s\dot{s} = s(dt - \eta \operatorname{sgn}(s)) = dt \cdot s - \eta |s| \leqslant 0$$

为了保证 $x_1 \rightarrow x_d, \dot{x}_1 \rightarrow \dot{x}_d$, 需要 $\lambda_1 \rightarrow 0, \lambda_2 \rightarrow 0$, 因此, 本算法的有效性取决于 $\lambda_i \rightarrow 0$ 是否成立, 即 Δu 的有界性。在初始条件下, V 有界从而 Δu 有界, 针对式(3.3), 通过 c_i 的设定可保证 $\lambda_i \rightarrow 0$, 从而使 e 和 \dot{e} 都趋近于零, 从而实现 $t \rightarrow \infty$ 时, V 有界, 即 Δu 有界。

3.1.3 仿真实例

被控对象取下式

$$\begin{cases} \dot{x}_1 = x_2 \\ \dot{x}_2 = -25x_2 + 133u + 10\sin t \end{cases}$$

则 $f(x, t) = -25x_2, b = 133, D = 10$ 。理想角度指令为 $x_d = \sin t$, 系统初始状态为 $[5, 0]$, 取 $c = 1.5, c_1 = c_2 = 10, \eta = D + 0.5$ 。采用辅助系统式(3.3)和控制律式(3.6)。滑模控制中, 采用饱和函数代替切换函数, 取边界层厚度 Δ 为 0.02。仿真结果如图 3.3 和图 3.4 所示。

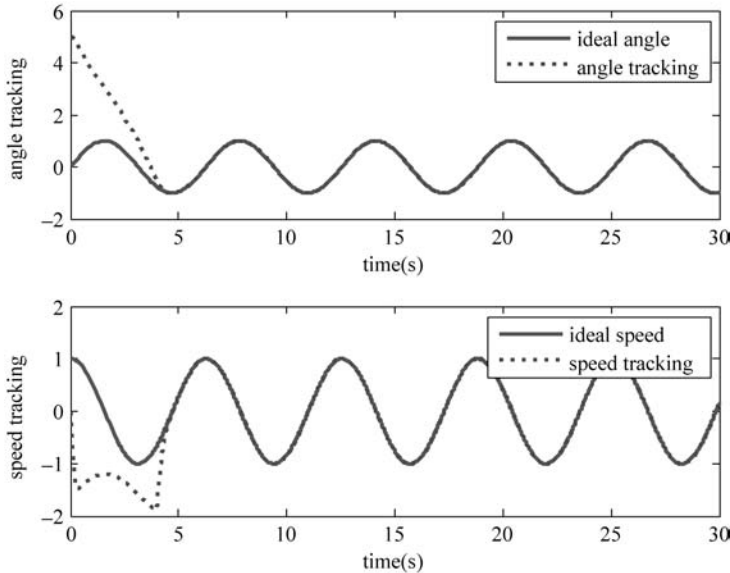


图 3.3 位置和速度跟踪

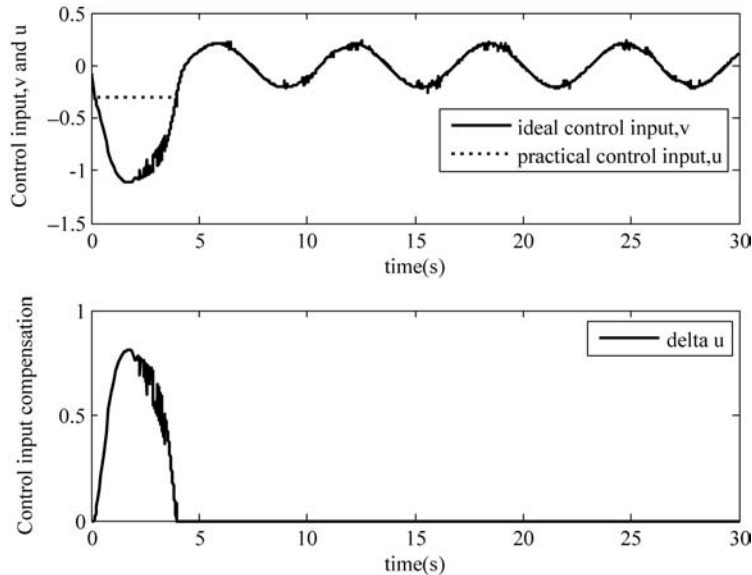
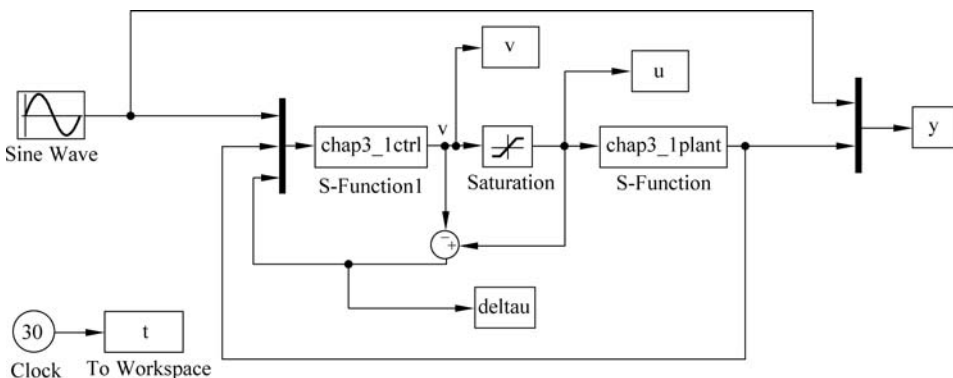


图 3.4 受限前后控制输入 v 与 u 及 Δu

通过仿真结果图 3.4 可见, 控制输入 v 有界, 因此 Δu 有界, 因此辅助系统式(3.3)是稳定的, 通过 A 为 Hurwitz 条件的设计, 可以保证 $t \rightarrow \infty$ 时, $\lambda_i \rightarrow 0$ 。

仿真程序:

(1) Simulink 主程序: chap3_1sim. mdl。



(2) 控制器子程序: chap3_1ctrl. m。

```
function [ sys, x0, str, ts ] = s_function( t, x, u, flag )
switch flag,
case 0,
    [ sys, x0, str, ts ] = mdlInitializeSizes;
case 1,
    sys = mdlDerivatives( t, x, u );
case 3,
    sys = mdlOutputs( t, x, u );
case { 1, 2, 4, 9 }
    sys = [ ];
otherwise
```

```
error(['Unhandled flag = ', num2str(flag)]);
end
function [sys,x0,str,ts] = mdlInitializeSizes
sizes = simsizes;
sizes.NumContStates = 2;
sizes.NumDiscStates = 0;
sizes.NumOutputs = 1;
sizes.NumInputs = 4;
sizes.DirFeedthrough = 1;
sizes.NumSampleTimes = 1;
sys = simsizes(sizes);
x0 = [0 0];
str = [];
ts = [-1 0];
function sys = mdlDerivatives(t,x,u)
c1 = 10; c2 = 10;
deltau = u(4);
lamda1 = x(1);
lamda2 = x(2);

b = 133;
sys(1) = -c1 * lamda1 + lamda2;
sys(2) = -c2 * lamda2 + b * deltau;
function sys = mdlOutputs(t,x,u)
c1 = 10; c2 = 10;
xd = sin(t);
dxd = cos(t);
ddxd = -sin(t);

x1 = u(2);
x2 = u(3);
deltau = u(4);
f = -25 * x2;
b = 133;
D = 10;

lamda1 = x(1);
lamda2 = x(2);
dlamda1 = lamda2 - c1 * lamda1;
dlamda2 = -c2 * lamda2 + b * deltau;

e = x1 - xd - lamda1;
de = x2 - dxd - dlamda1;

c = 1.5;
s = c * e + de;
xite = D + 0.5;

fai = 0.02;
if abs(s)<= fai
sat = s/fai;
```

```
else
    sat = sign(s);
end
vt = - 1/b * (c * x2 + c2 * lamda2 + (c1 - c) * dlamda1 + f - c * dxdt - ddxd) - 1/b * xite * sat;
```

```
sys(1) = vt;
```

(3) 被控对象子程序：chap3_1plant.m。

```
function [ sys,x0,str,ts] = s_function(t,x,u,flag)
switch flag,
case 0,
    [ sys,x0,str,ts] = mdlInitializeSizes;
case 1,
    sys = mdlDerivatives(t,x,u);
case 3,
    sys = mdlOutputs(t,x,u);
case {2,4,9}
    sys = [ ];
otherwise
    error([ 'Unhandled flag = ',num2str(flag)]);
end
function [ sys,x0,str,ts] = mdlInitializeSizes
sizes = simsizes;
sizes.NumContStates = 2;
sizes.NumDiscStates = 0;
sizes.NumOutputs = 2;
sizes.NumInputs = 1;
sizes.DirFeedthrough = 1;
sizes.NumSampleTimes = 1;
sys = simsizes(sizes);
x0 = [ 5 0];
str = [ ];
ts = [ - 1 0];
function sys = mdlDerivatives(t,x,u)
ut = u(1);
f = - 25 * x(2);
b = 133;
dt = 10 * sin(t);
sys(1) = x(2);
sys(2) = f + b * ut + dt;
function sys = mdlOutputs(t,x,u)
sys(1) = x(1);
sys(2) = x(2);
```

(4) 做图子程序：chap3_1plot.m。

```
close all;

figure(1);
subplot(211);
plot(t,y(:,1),'r',t,y(:,2),'b','linewidth',2);
```

```

xlabel('time(s)'); ylabel('angle tracking');
legend('ideal angle', 'angle tracking');
subplot(212);
plot(t,cos(t), 'r', t, y(:,3), 'b:', 'linewidth', 2);
xlabel('time(s)'); ylabel('speed tracking');
legend('ideal speed', 'speed tracking');

figure(2);
subplot(211);
plot(t,v(:,1), 'k', t,u(:,1), 'k:', 'linewidth', 2);
xlabel('time(s)'); ylabel('Control input, v and u');
legend('ideal control input, v', 'practical control input, u');
subplot(212);
plot(t,delta u(:,1), 'k', 'linewidth', 2);
xlabel('time(s)'); ylabel('Control input compensation');
legend('delta u');

```

3.2 基于 RBF 网络补偿的控制输入受限滑模控制

RBF 神经网络能在一个紧凑集和任意精度下,逼近任何非线性函数。采用 RBF 神经网络可实现控制输入受限的有效补偿。

3.2.1 系统描述

被控对象为

$$\begin{cases} \dot{x}_1 = x_2 \\ \dot{x}_2 = f(x, t) + bu + dt \end{cases} \quad (3.7)$$

其中, $b > 0$; dt 为干扰, $|dt| \leq D$; u 为受限的控制量。

取最大控制输入值为 u_{\max} , $\delta = u - v$, $u = \text{sat}(v)$, 控制输入受限函数 $\text{sat}(v)$ 表示为

$$\text{sat}(v) = \begin{cases} u_{\max}, & v > u_{\max} \\ v, & |v| \leq u_{\max} \\ -u_{\max}, & v < -u_{\max} \end{cases} \quad (3.8)$$

控制输入受限函数示意图如图 3.1 所示。在实际工程中,若执行器幅值未知,会造成 δ 未知。通过设计 RBF 网络,采用 RBF 网络逼近 δ 的方法,可实现一种基于控制输入受限下的滑模控制方法。闭环控制系统示意图如图 3.5 所示。

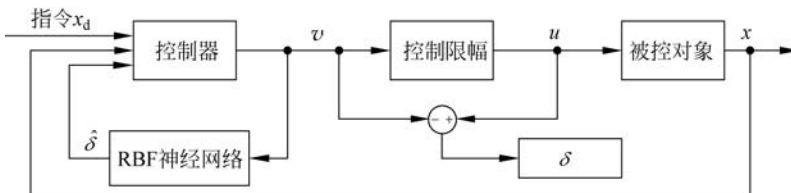


图 3.5 基于控制受限下的闭环控制系统

3.2.2 基于 RBF 网络控制受限逼近的滑模控制

RBF 网络输入输出算法为

$$h_j = \exp\left(\frac{\|x - c_j\|^2}{2b_j^2}\right)$$

$$\delta = W^{*T} h(x) + \epsilon \quad (3.9)$$

其中, x 为网络输入; i 表示网络输入层第 i 个的输入; j 为网络隐含层第 j 个网络输入; $h = [h_j]^T$ 为高斯基函数的输出; W^* 为网络的理想权值; ϵ 为理想神经网络逼近 δ 的误差, $\epsilon \leq \epsilon_{\max}$ 。

根据图 3.5, 网络输入取 $x = v$, 则网络输出为

$$\hat{\delta} = \hat{W}^T h \quad (3.10)$$

其中, $\hat{\delta}$ 为网络输出, \hat{W} 为神经网络的估计权值。

取 $\tilde{W} = \hat{W} - W^*$, 则 $\delta - \hat{\delta} = W^{*T} h + \epsilon - \hat{W}^T h = (W^{*T} - \hat{W}^T) h + \epsilon = -\tilde{W}^T h + \epsilon$ 。

取控制目标为 $x_1 \rightarrow x_d$, x_d 为角度指令信号。定义角度误差为 $e = x_1 - x_d$, 则 $\dot{e} = \dot{x}_1 - \dot{x}_d$, 滑模函数为 $s = ce + \dot{e}$, $c > 0$, 则

$$\begin{aligned} \dot{s} &= c\dot{e} + \ddot{e} = c\dot{e} + \ddot{x}_1 - \ddot{x}_d \\ &= c\dot{e} + f + bu + dt - \ddot{x}_d \\ &= c\dot{e} + f + b(v + \delta) + dt - \ddot{x}_d \end{aligned}$$

设计控制律为

$$v = \frac{1}{b}(-c\dot{e} - f + \ddot{x}_d - \eta \operatorname{sgn}(s)) - \hat{\delta} \quad (3.11)$$

其中, $\eta \geq D + b\epsilon_{\max}$ 。

于是

$$\dot{s} = -\eta \operatorname{sgn}(s) + b(\delta - \hat{\delta}) + dt = -\eta \operatorname{sgn}(s) - b\tilde{W}^T h + b\epsilon + dt$$

定义 Lyapunov 函数

$$V = \frac{1}{2}s^2 + \frac{1}{2}\gamma\tilde{W}^T\tilde{W}$$

其中, $\gamma > 0$ 。

于是

$$\begin{aligned} \dot{V} &= s\dot{s} + \gamma\tilde{W}^T\dot{\tilde{W}} \\ &= -\eta|s| + s \cdot dt + sb(-\tilde{W}^T h + \epsilon) + \gamma\tilde{W}^T\dot{\tilde{W}} \\ &= -\eta|s| + s \cdot dt + sb\epsilon + \tilde{W}^T(-sbh + \gamma\dot{\tilde{W}}) \end{aligned}$$

取自适应律为

$$\dot{\hat{W}} = \frac{1}{\gamma} s b h \quad (3.12)$$

则

$$\dot{V} = -\eta |s| + (dt + b\epsilon)s \leqslant 0$$

由于当且仅当 $s=0$ 时, $\dot{V}=0$, 则 $t \rightarrow \infty$ 时, $s \rightarrow 0$, 且 \tilde{W} 有界。

神经网络只能逼近有界的函数, 这就要求 δ 有界, 本算法的稳定性取决于 δ 的有界性, 即 v 的有界性。

3.2.3 仿真实例

被控对象取

$$\begin{cases} \dot{x}_1 = x_2 \\ \dot{x}_2 = -25x_2 + 133u + 10 \sin t \end{cases}$$

则 $f(x, t) = -25x_2$, $b = 133$, $D = 10$ 。理想角度指令为 $x_d = \sin t$ 。为了表明控制系统补偿控制输入受限的能力, 采用较大的初始误差, 系统初始状态为 $[10, 0]$ 。RBF 网络结构取 1-5-1, 网络输入取 $x = v$, 根据网络输入实际范围来设计高斯基函数的参数, 取 $c_i = 6 \times [-1.0 \ -0.5 \ 0 \ 0.5 \ 1.0]$ 和 $b_j = 5.0$, 网络权值的初始值为 0。采用控制律式(3.11)和自适应律式(3.12), 取 $c = 5$, $\eta = D + 0.5$, $\gamma = 10$ 。在滑模控制中, 采用饱和函数代替切换函数, 取边界层厚度 Δ 为 0.02。仿真结果如图 3.6~图 3.8 所示。

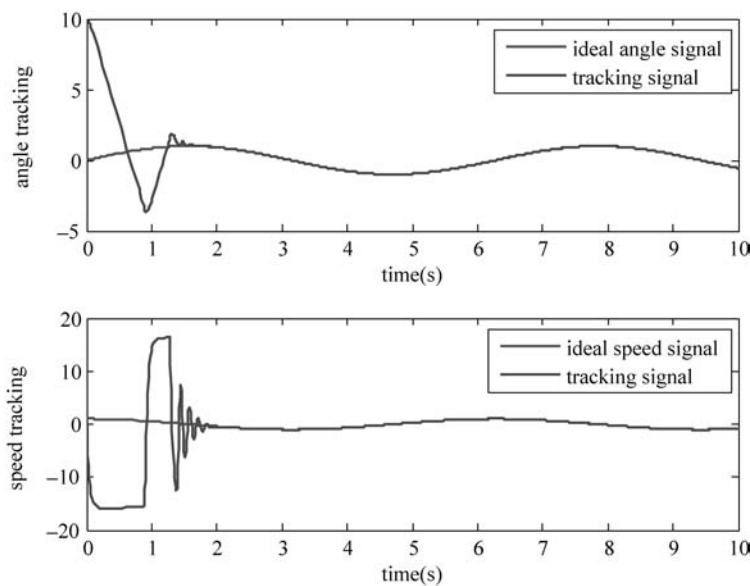


图 3.6 位置和速度跟踪

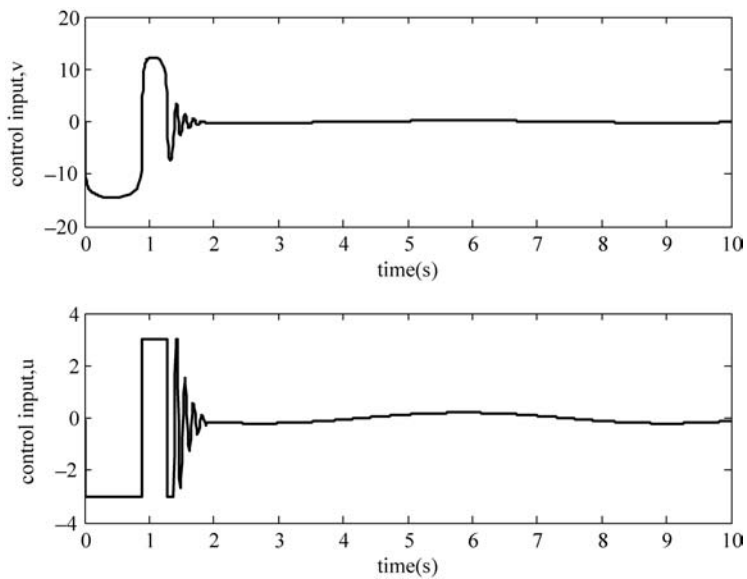


图 3.7 受限前后控制输入 v 与 u

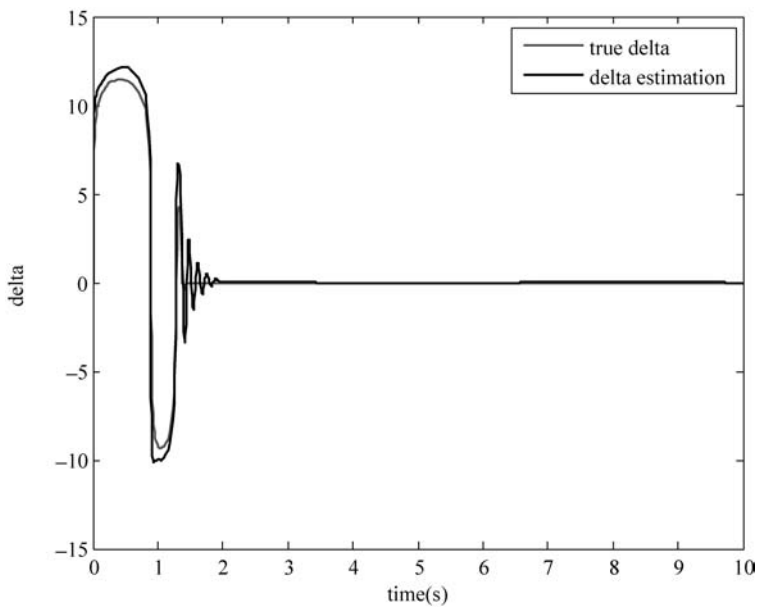
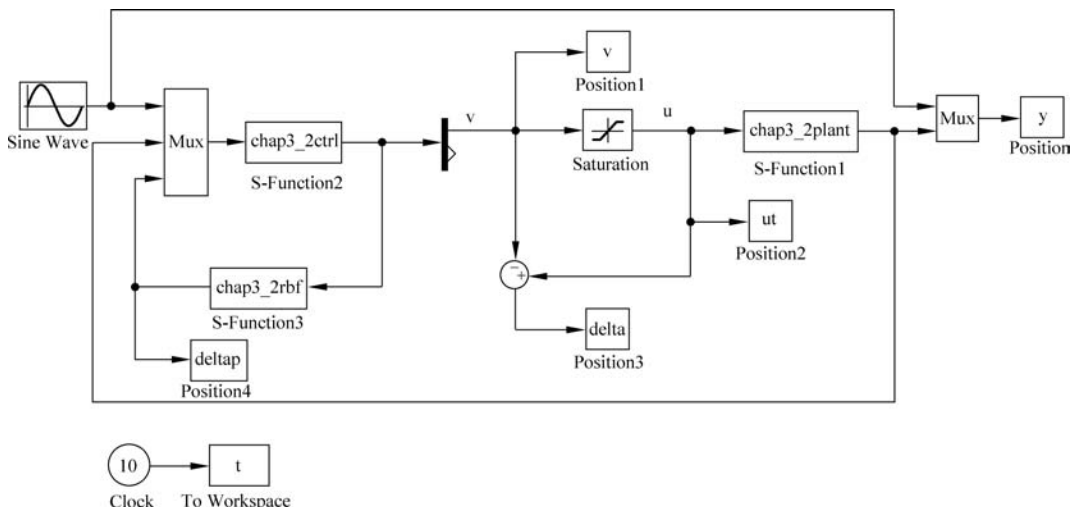


图 3.8 控制输入受限值 δ 及逼近

仿真程序：

(1) Simulink 主程序：chap3_2sim.mdl。



(2) 控制器子程序：chap3_2ctrl.m。

```

function [ sys, x0, str, ts ] = spacemodel( t, x, u, flag )
switch flag,
case 0,
    [ sys, x0, str, ts ] = mdlInitializeSizes;
case 3,
    sys = mdlOutputs( t, x, u );
case { 2, 4, 9 }
    sys = [ ];
otherwise
    error([ 'Unhandled flag = ', num2str(flag) ]);
end
function [ sys, x0, str, ts ] = mdlInitializeSizes
sizes = simsizes;
sizes.NumContStates = 0;
sizes.NumDiscStates = 0;
sizes.NumOutputs = 2;
sizes.NumInputs = 4;
sizes.DirFeedthrough = 1;
sizes.NumSampleTimes = 0;
sys = simsizes(sizes);
x0 = [ ];
str = [ ];
ts = [ ];
function sys = mdlOutputs( t, x, u )
x1d = sin(t);
dx1d = cos(t);
ddx1d = -sin(t);
x1 = u(2);
x2 = u(3);

```

```
deltap = u(4);

e = x1 - x1d;
de = x2 - dx1d;
c = 5;
s = c * e + de;

D = 10;
xite = D + 0.50;
fai = 0.02;
if abs(s) <= fai
    sat = s/fai;
else
    sat = sign(s);
end
b = 133;
f = -25 * x2;
v = 1/b * (-c * de - f + ddx1d - xite * sat) - deltap;
sys(1) = v;
sys(2) = s;
```

(3) 神经网络逼近子程序：chap3_2rbf.m。

```
function [ sys,x0,str,ts ] = spacemodel(t,x,u,flag)
switch flag,
case 0,
    [ sys,x0,str,ts ] = mdlInitializeSizes;
case 1,
    sys = mdlDerivatives(t,x,u);
case 3,
    sys = mdlOutputs(t,x,u);
case {2,4,9}
    sys = [ ];
otherwise
    error([ 'Unhandled flag = ',num2str(flag)]);
end
function [ sys,x0,str,ts ] = mdlInitializeSizes
global cij bj c
sizes = simsizes;
sizes.NumContStates = 5;
sizes.NumDiscStates = 0;
sizes.NumOutputs = 1;
sizes.NumInputs = 2;
sizes.DirFeedthrough = 1;
sizes.NumSampleTimes = 0;
sys = simsizes(sizes);
x0 = 0 * ones(1,5);
str = [ ];
ts = [ ];
cij = 6 * [ -1 -0.5 0 0.5 1];
bj = 5;
```

```
function sys = mdlDerivatives(t,x,u)
global cij bj
v = u(1);
s = u(2);

b = 133;

xi = v;
h = zeros(5,1);
for j = 1:1:5
    h(j) = exp(-norm(xi - cij(:,j))^2/(2 * bj^2));
end
gama = 10;
for i = 1:1:5
    sys(i) = 1/gama * s * b * h(i);
end
function sys = mdlOutputs(t,x,u)
global cij bj
v = u(1);
xi = v;

W = [x(1) x(2) x(3) x(4) x(5)]';
h = zeros(5,1);
for j = 1:1:5
    h(j) = exp(-norm(xi - cij(:,j))^2/(2 * bj^2));
end
deltap = W' * h;

sys(1) = deltap;
```

(4) 被控对象子程序：chap3_2plant.m。

```
function [sys,x0,str,ts] = s_function(t,x,u,flag)
switch flag,
case 0,
    [sys,x0,str,ts] = mdlInitializeSizes;
case 1,
    sys = mdlDerivatives(t,x,u);
case 3,
    sys = mdlOutputs(t,x,u);
case {2,4,9}
    sys = [];
otherwise
    error(['Unhandled flag = ',num2str(flag)]);
end
function [sys,x0,str,ts] = mdlInitializeSizes
sizes = simsizes;
sizes.NumContStates = 2;
sizes.NumDiscStates = 0;
sizes.NumOutputs = 2;
sizes.NumInputs = 1;
```

```

sizes.DirFeedthrough = 0;
sizes.NumSampleTimes = 0;
sys = simsizes(sizes);
x0 = [10 0];
str = [];
ts = [];
function sys = mdlDerivatives(t,x,u)
sys(1) = x(2);
sys(2) = - 25 * x(2) + 133 * u + 10 * sin(t);
function sys = mdlOutputs(t,x,u)
sys(1) = x(1);
sys(2) = x(2);

```

(5) 做图子程序：chap3_2plot.m。

```

close all;

figure(1);
subplot(211);
plot(t,y(:,1),'r',t,y(:,2),'b','linewidth',2);
xlabel('time(s)');ylabel('angle tracking');
legend('ideal angle signal','tracking signal');
subplot(212);
plot(t,cos(t),'r',t,y(:,3),'b','linewidth',2);
xlabel('time(s)');ylabel('speed tracking');
legend('ideal speed signal','tracking signal');

figure(2);
subplot(211);
plot(t,v(:,1),'k','linewidth',2);
xlabel('time(s)');ylabel('control input,v');
subplot(212);
plot(t,ut(:,1),'k','linewidth',2);
xlabel('time(s)');ylabel('control input,u');

figure(3);
plot(t,delta(:,1),'r',t,deltap(:,1),'k','linewidth',2);
xlabel('time(s)');ylabel('delta');
legend('true delta','delta estimation');

```

3.3 一种按设定误差性能指标函数收敛的滑模控制

3.3.1 问题描述

考虑如下被控对象：

$$\begin{cases} \dot{x}_1 = x_2 \\ \dot{x}_2 = f(x) + g(x)(u + d(t)) \end{cases} \quad (3.13)$$

其中， x_1 为实际输出； u 为控制输入； $f(x)$ 和 $g(x)$ 为已知函数； $d(t)$ 为未知扰动，

$|d(t)| \leq D$ 。

取 x_1 的理想指令为 x_d , 跟踪误差为 $e = x_1 - x_d$, 则 $\dot{e} = x_2 - \dot{x}_d$, $\ddot{e} = \dot{x}_2 - \ddot{x}_d = f(x) + g(x)(u + d(t)) - \ddot{x}_d$ 。取误差性能指标函数为

$$\lambda(t) = (\lambda(0) - \lambda_\infty) \exp(-lt) + \lambda_\infty \quad (3.14)$$

其中, $l > 0$, $0 < |e(0)| < \lambda(0)$, $\lambda_\infty > 0$, $\lambda_\infty < \lambda(0)$ 。

则 $\lambda(t) > 0$ 且为按指数快速递减到 λ_∞ 的值。

3.3.2 跟踪误差性能函数设计

定理^[1-3]: 为了保证跟踪误差快速收敛, 并达到一定的收敛精度, 跟踪误差按下式进行设定

$$e(t) = \lambda(t)S(\epsilon) \quad (3.15)$$

则

$$S(\epsilon) = \frac{e(t)}{\lambda(t)} \quad (3.16)$$

函数 $S(\epsilon)$ 需要满足如下要求:

- (1) $S(\epsilon)$ 为光滑连续的单调递增函数;
- (2) $-1 < S(\epsilon) < 1$;
- (3) $\lim_{\epsilon \rightarrow +\infty} S(\epsilon) = 1$, $\lim_{\epsilon \rightarrow -\infty} S(\epsilon) = -1$ 。

根据上述要求, 设计误差性能函数 $S(\epsilon)$ 为双曲正切函数, 表示如下:

$$S(\epsilon) = \frac{\exp(\epsilon) - \exp(-\epsilon)}{\exp(\epsilon) + \exp(-\epsilon)} \quad (3.17)$$

由于 $-1 < S(\epsilon) < 1$, 则根据 $\lambda(t)$ 的定义, 可得 $-\lambda(t) < \lambda(t)S(\epsilon) < \lambda(t)$, 即

$$-\lambda(t) < e(t) < \lambda(t) \quad (3.18)$$

从而跟踪误差的收敛集合为

$$\Xi = \{e \in R : |e(t)| \leq \lambda_\infty\}$$

通过对跟踪误差的限定, 可实现理想的输出, 并实现输出值范围的限定。

3.3.3 收敛性分析

根据双曲正切函数性质, 函数 $S(\epsilon)$ 的反函数为

$$\epsilon = \frac{1}{2} \ln \frac{1+S}{1-S} = \frac{1}{2} \ln \frac{1+\frac{e}{\lambda}}{1-\frac{e}{\lambda}} = \frac{1}{2} \ln \frac{\lambda+e}{\lambda-e} = \frac{1}{2} (\ln(\lambda+e) - \ln(\lambda-e))$$

从而

$$\dot{\epsilon} = \frac{1}{2} \left(\frac{\dot{\lambda}+e}{\lambda+e} - \frac{\dot{\lambda}-e}{\lambda-e} \right)$$

$$\begin{aligned}
\dot{\epsilon} &= \frac{1}{2} \left(\frac{(\dot{\lambda} + \dot{\epsilon})(\lambda + e) - (\dot{\lambda} + \dot{\epsilon})^2}{(\lambda + e)^2} - \frac{(\dot{\lambda} - \dot{\epsilon})(\lambda - e) - (\dot{\lambda} - \dot{\epsilon})^2}{(\lambda - e)^2} \right) \\
&= \frac{\dot{\lambda}(\lambda + e) - (\dot{\lambda} + \dot{\epsilon})^2}{2(\lambda + e)^2} + \frac{\dot{\epsilon}(\lambda + e)}{2(\lambda + e)^2} - \frac{\dot{\lambda}(\lambda - e) - (\dot{\lambda} - \dot{\epsilon})^2}{2(\lambda - e)^2} + \frac{\dot{\epsilon}(\lambda - e)}{2(\lambda - e)^2} \\
&= \frac{\dot{\lambda}(\lambda + e) - (\dot{\lambda} + \dot{\epsilon})^2}{2(\lambda + e)^2} - \frac{\dot{\lambda}(\lambda - e) - (\dot{\lambda} - \dot{\epsilon})^2}{2(\lambda - e)^2} + \left(\frac{\lambda + e}{2(\lambda + e)^2} + \frac{\lambda - e}{2(\lambda - e)^2} \right) \dot{\epsilon} \\
\text{取 } M_1 &= \frac{\dot{\lambda}(\lambda + e) - (\dot{\lambda} + \dot{\epsilon})^2}{2(\lambda + e)^2}, M_2 = -\frac{\dot{\lambda}(\lambda - e) - (\dot{\lambda} - \dot{\epsilon})^2}{2(\lambda - e)^2}, M_3 = \frac{\lambda + e}{2(\lambda + e)^2} + \frac{\lambda - e}{2(\lambda - e)^2}
\end{aligned}$$

则

$$\dot{\epsilon} = M_1 + M_2 + M_3 \dot{\epsilon} = M_1 + M_2 + M_3 (f(x) + g(x)(u + d(t)) - \ddot{x}_d)$$

取滑模函数为 $\sigma = \dot{\epsilon} + c\epsilon$, $c > 0$, 则

$$\dot{\sigma} = \dot{\epsilon} + c\dot{\epsilon} = M_1 + M_2 + M_3 (f(x) + g(x)(u + d(t)) - \ddot{x}_d) + c\dot{\epsilon}$$

则

$$\dot{\sigma} = M_1 + M_2 + M_3 f(x) + u_1 + M_3 g(x)d(t) - M_3 \ddot{x}_d + c\dot{\epsilon}$$

其中, $u_1 = M_3 g(x)u$ 。

设计

$$u_1 = -k\sigma - \eta \operatorname{sgn}(\sigma) - M_1 - M_2 - M_3 f(x) + M_3 \ddot{x}_d - c\dot{\epsilon}$$

其中 $k > 0$ 。

则控制律为

$$u = \frac{u_1}{M_3 g(x)} \quad (3.19)$$

则

$$\dot{\sigma} = -k\sigma - \eta \operatorname{sgn}(\sigma) + M_3 g(x)d(t)$$

定义 Lyapunov 函数如下:

$$V = \frac{1}{2}\sigma^2$$

从而有

$$\begin{aligned}
\dot{V} &= \sigma \dot{\sigma} = \sigma(-k\sigma - \eta \operatorname{sgn}(\sigma) + M_3 g(x)d(t)) \\
&= -k\sigma^2 - \eta |\sigma| + M_3 g(x)d(t)\sigma \leq -k\sigma^2 = -2kV
\end{aligned}$$

其中, $\eta \geq |M_3 g(x)|D$ 。

求解 $\dot{V} \leq -2kV$, 可以得到如下收敛效果:

$$V(t) \leq \exp(-2k(t - t_0)) V(t_0)$$

可见, 为 $V(t)$ 指数收敛于零, 则 σ 指数收敛于零, ϵ 和 $\dot{\epsilon}$ 指数收敛于零, 收敛速度取决于控制律中的 k 值。

由于双曲正切函数为单调递增函数, 函数 $S(\epsilon)$ 有界且单调收敛于零, 由式(3.15)可知, 则跟踪误差 $e(t)$ 单调收敛于零, 且 $e(t)$ 的收敛范围取决于式(3.18)。

根据双曲正切函数导数的性质, 有 $\dot{S}(\epsilon) = (1 - S^2(\epsilon))\dot{\epsilon}$, 则 $\dot{S}(\epsilon)$ 指数收敛于零, 又

由于 $\dot{\lambda}$ 指数收敛于零, λ 指数收敛于 λ_∞ , 由于 $\dot{\lambda}S$ 和 $\lambda\dot{S}$ 都不是单调的指数收敛, 则 $\dot{e}(t) = \dot{\lambda}S + \lambda\dot{S}$ 为单调收敛于零。

3.3.4 仿真实例

针对被控对象, 取 $f(x) = -25x_2$, $g(x) = 133$, $d(t) = 3\sin t$, 初始状态为 $[0.50 \quad 0]$, 理想指令为 $x_d = \sin t$, 则 $e(0) = x_1(0) - x_d(0) = 0.50$ 。误差指标函数取式(3.14), 取 $l=5.0$, $\lambda(0)=0.51$, $\lambda_\infty=0.001$, 采用控制律式(3.19), 取 $c=50$, $D=3.0$, $\eta=|M_3g(x)|D+0.10$, $k=10$, 仿真结果如图 3.9~图 3.12 所示。

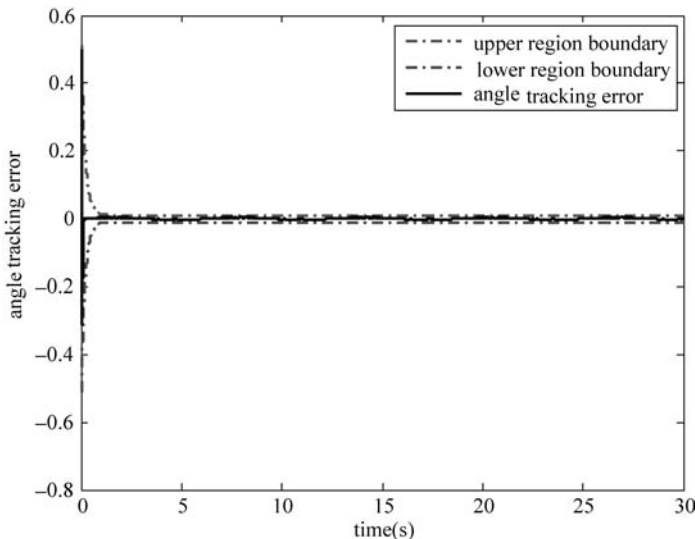


图 3.9 跟踪误差的收敛过程

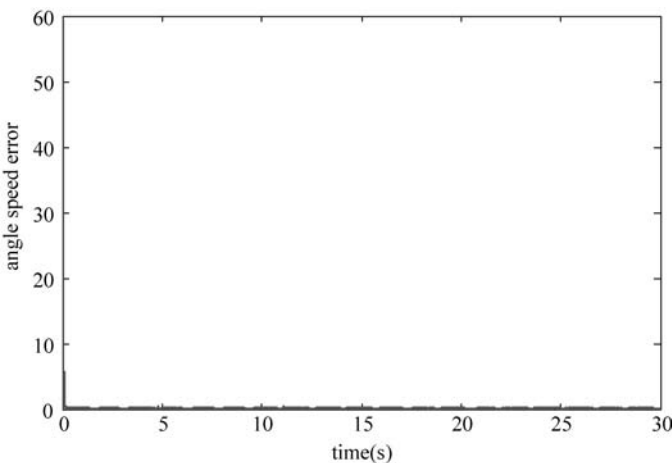


图 3.10 跟踪误差速度的收敛过程

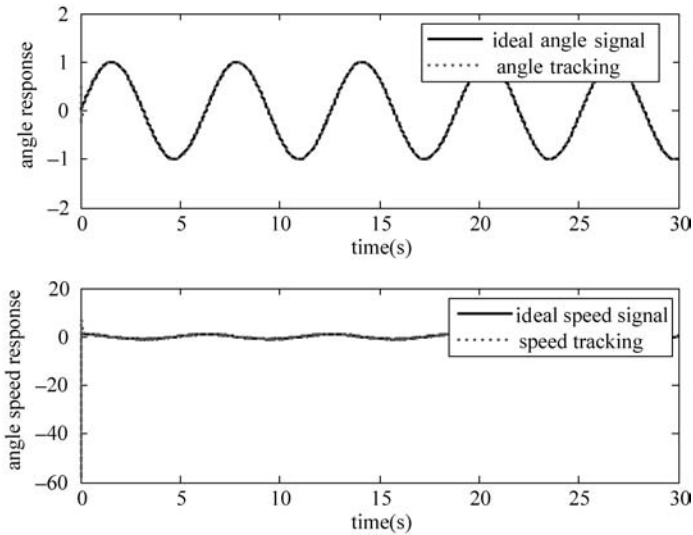


图 3.11 角度和角速度跟踪

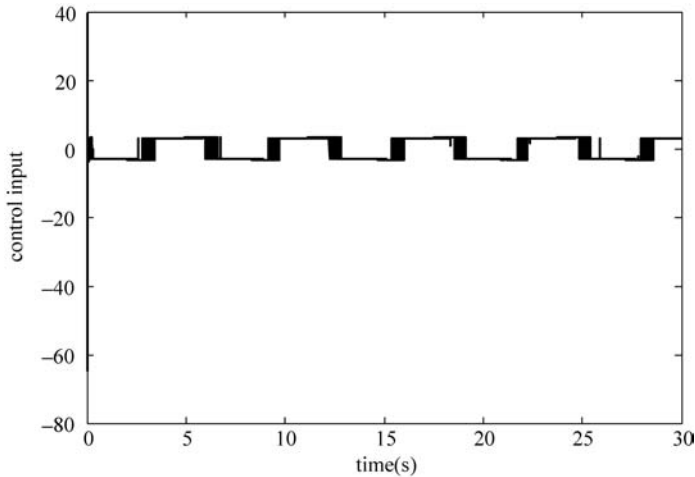


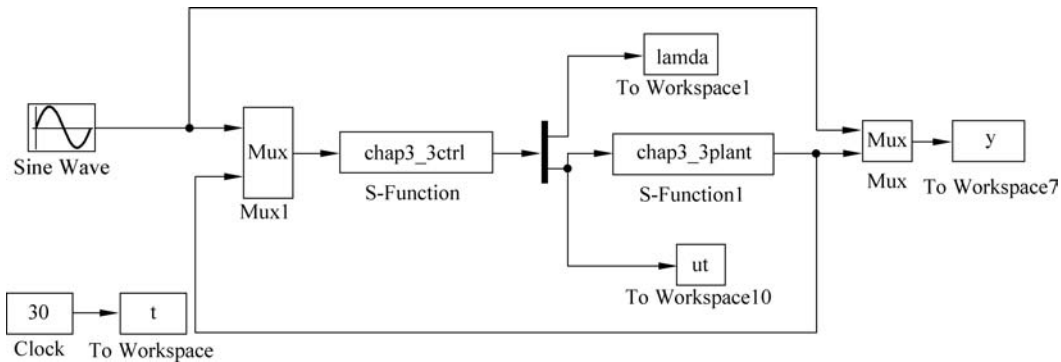
图 3.12 控制输入

需要说明的是，仿真过程中，两种情况下， $\lambda(t)$ 接近 $e(t)$ ：(1) $t=0$ 时，当 $\lambda(0)$ 越接近 $e(0)$ 时；(2) $t \rightarrow \infty$ 时，当 λ_∞ 取值很小时， $e(t)$ 越接近 λ_∞ 。在该两种情况下，根据 $S(\epsilon) = \frac{e(t)}{\lambda(t)}$ ，函数 $S(\epsilon)$ 接近于1.0，此时函数 $S(\epsilon)$ 的反函数 $\epsilon = \frac{1}{2} \ln \frac{1+S}{1-S}$ 中越容易产生奇异或 $\frac{1+S}{1-S}$ 为负。

避免的方法为： $\lambda(0)$ 不能过于接近 $e(0)$ ， λ_∞ 值也不能过小。如果 $\lambda(0)$ 接近 $e(0)$ 或 λ_∞ 取值很小时，会造成 M_3 产生奇异，从而 u 产生奇异，为了避免产生奇异，需要相应地改变Simulink环境下数值分析求解的方法。本仿真采用定点求解方法，间隔时间取0.001。

仿真程序：

(1) Simulink 主程序：chap3_3sim.mdl。



(2) 控制器 S 函数：chap3_3ctrl.m。

```

function [ sys,x0,str,ts] = spacemodel(t,x,u,flag)
switch flag,
case 0,
    [ sys,x0,str,ts] = mdlInitializeSizes;
case 3,
    sys = mdlOutputs(t,x,u);
case {2,4,9}
    sys = [ ];
otherwise
    error([ 'Unhandled flag = ',num2str(flag)]);
end
function [ sys,x0,str,ts] = mdlInitializeSizes
sizes = simsizes;
sizes.NumContStates = 0;
sizes.NumDiscStates = 0;
sizes.NumOutputs = 2;
sizes.NumInputs = 3;
sizes.DirFeedthrough = 1;
sizes.NumSampleTimes = 0;
sys = simsizes(sizes);
x0 = [ ];
str = [ ];
ts = [ ];
function sys = mdlOutputs(t,x,u)
xd = u(1);
dxd = cos(t);
ddxd = - sin(t);
x1 = u(2);
x2 = u(3);
fx = - 25 * x2;
gx = 133;

e = x1 - xd;
de = x2 - dxd;

```

```

l = 5;

M = 2;
if M == 1 % Fixed Step is 0.0001 in Simulink
    lamda0 = 0.5001; % > abs(e(0)) = 0.50
    lamda_inf = 0.0001;
elseif M == 2 % Fixed Step is 0.001 in Simulink
    lamda0 = 0.51; % > abs(e(0)) = 0.50
    lamda_inf = 0.01;
end

lamda = (lamda0 - lamda_inf) * exp(-l * t) + lamda_inf;
dlamda = -l * (lamda0 - lamda_inf) * exp(-l * t);
ddlamda = l^2 * (lamda0 - lamda_inf) * exp(-l * t);

S = e/lamda;

epc = 0.5 * log((1 + S)/(1 - S)); % To guarantee log effective, must use the suitable solver
% method in simulink

depc = (de * lamda - e * dlamda)/((lamda + e) * lamda);

D = 3.0;
c = 50;
k = 10;

E = c * epc + depc;

M1 = (ddlamda * (lamda + e) - (dlamda + de)^2)/(2 * (lamda + e)^2);
M2 = -(ddlamda * (lamda - e) - (dlamda - de)^2)/(2 * (lamda - e)^2);
M3 = (lamda + e)/(2 * (lamda + e)^2) + (lamda - e)/(2 * (lamda - e)^2);

xite = abs(M3 * gx) * D + 0.10;

delta = 0.020;
kk = 1/delta;
if abs(E)> delta
    satE = sign(E);
else
    satE = kk * E;
end
u1 = -k * E - xite * satE - M1 - M2 - M3 * fx + M3 * ddxd - c * depc;
ut = u1/(M3 * gx);

sys(1) = lamda;
sys(2) = ut;

```

(3) 被控对象 S 函数：chap3_3plant.m。

```

function [ sys, x0, str, ts ] = s_function(t, x, u, flag)

```

```
switch flag,
case 0,
    [ sys,x0,str,ts ] = mdlInitializeSizes;
case 1,
    sys = mdlDerivatives(t,x,u);
case 3,
    sys = mdlOutputs(t,x,u);
case {2, 4, 9}
    sys = [ ];
otherwise
    error([ 'Unhandled flag = ', num2str(flag)]);
end
function [ sys,x0,str,ts ] = mdlInitializeSizes
sizes = simsizes;
sizes.NumContStates = 2;
sizes.NumDiscStates = 0;
sizes.NumOutputs = 2;
sizes.NumInputs = 1;
sizes.DirFeedthrough = 0;
sizes.NumSampleTimes = 0;
sys = simsizes(sizes);
x0 = [ 0.50 0 ];
str = [ ];
ts = [ ];
function sys = mdlDerivatives(t,x,u)
ut = u(1);
sys(1) = x(2);
sys(2) = - 25 * x(2) + 133 * (ut + 3 * sin(t));
function sys = mdlOutputs(t,x,u)
sys(1) = x(1);
sys(2) = x(2);
```

(4) 做图程序：chap3_3plot.m。

```
close all;

figure(1);
plot(t, lamda, '-.r', t, -lamda, '-.b', t, y(:,2) - y(:,1), 'k', 'linewidth', 2);
legend('upper region boundary', 'lower region boundary', 'angle tracking error');
xlabel('time(s)'), ylabel('angle tracking error');

figure(2);
plot(t, abs(cos(t) - y(:,3)), 'r', 'linewidth', 2);
xlabel('time(s)'), ylabel('angle speed error');

figure(3);
subplot(211);
plot(t, y(:,1), 'k', t, y(:,2), 'r:', 'linewidth', 2);
```

```

legend('ideal angle signal','angle tracking');
xlabel('time(s)');ylabel('angle response');
subplot(212);
plot(t,cos(t),'k',t,y(:,3),'r','linewidth',2);
legend('Ideal speed signal','speed tracking');
xlabel('time(s)');ylabel('angle speed response');

figure(4);
plot(t,ut(:,1),'k','linewidth',2);
xlabel('time(s)');ylabel('control input');

```

3.4 基于双曲正切函数的输入受限滑模控制

本节给出一种通过双曲正切函数直接设计有界控制输入的方法。

3.4.1 系统描述

针对如下系统

$$\begin{aligned}\dot{x}_1 &= x_2 \\ \dot{x}_2 &= u + d(t)\end{aligned}\tag{3.20}$$

其中, x_1 和 x_2 为状态, 控制输入为 u , $|d(t)| \leq D$ 为扰动。

控制目标为: 在受限的控制输入下, 实现 $t \rightarrow \infty$ 时, $x_1 \rightarrow 0, x_2 \rightarrow 0$ 。

3.4.2 双曲正切光滑函数特点

双曲正切函数定义为

$$\tanh(x) = \frac{e^x - e^{-x}}{e^x + e^{-x}}$$

双曲正切函数具有如下 2 个性质: (1) $|\tanh(x)| \leq 1$; (2) $x \tanh(x) \geq 0$ 。采用双曲正切光滑函数可实现控制输入的有界。

3.4.3 控制器的设计及分析

针对模型式(3.20), 设计滑模函数为

$$s = cx_1 + x_2$$

其中, $c > 0$ 。

定义 Lyapunov 函数为

$$V = \frac{1}{2}s^2\tag{3.21}$$

则

$$\dot{V} = s\dot{s} = s(u + d(t))$$

设计控制律为

$$u = -\eta \tanh(\eta s) - \lambda \operatorname{sgn}s \quad (3.22)$$

其中 $\eta > 0, \lambda \geq D + \lambda_0, \lambda_0 > 0$ 。

则

$$\begin{aligned}\dot{V} &= s(-\eta \tanh(\eta s) - \lambda \operatorname{sgn}s + d) \\ &= s(-\eta \tanh(\eta s) - \lambda \operatorname{sgn}s + d) \\ &= -\eta s \tanh(\eta s) + ds - \lambda |s|\end{aligned}$$

由于 $\eta s \tanh(\eta s) > 0$, 则

$$\dot{V} \leq -\lambda_0 |s|$$

从而 V 漂进收敛, 即当 $t \rightarrow \infty$ 时, $s \rightarrow 0, x_1 \rightarrow 0, x_2 \rightarrow 0$ 且漂进收敛。

由于 $\tanh(x) = \frac{e^x - e^{-x}}{e^x + e^{-x}} \in [-1, +1]$, 则由式(3.22)可得控制输入幅值为

$$|u| \leq \eta + \lambda$$

因此, 针对模型式(3.20)的结构, 按式(3.22)设计控制律, 通过设计 η 和 λ , 便可实现控制输入的受限。

3.4.4 仿真实例

考虑被控对象为式(3.20), $d(t) = 1.5 \sin t$, 初始状态为 $[0.1 \ 0]^T$ 。取 $c = 30$, 按式(3.22)设计控制律, 采用饱和函数方法, 取边界层厚度 Δ 为 0.10。取 $\eta = 3.0, \lambda = 1.6$, 则 $|u| \leq 4.6$ 。

仿真结果如图 3.13 和图 3.14 所示。

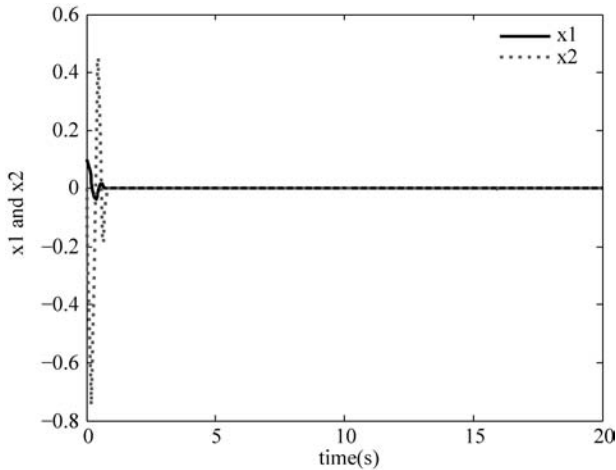


图 3.13 状态响应

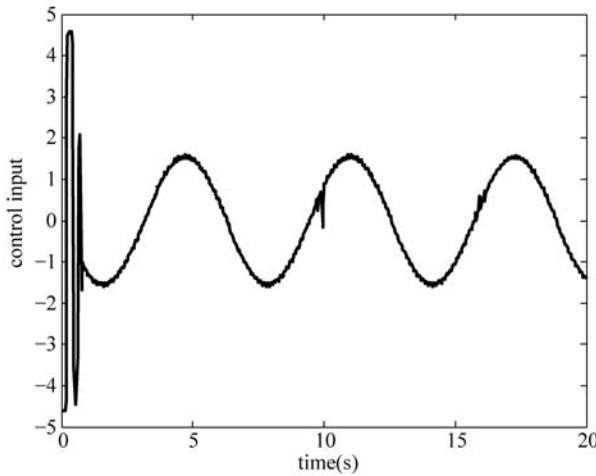
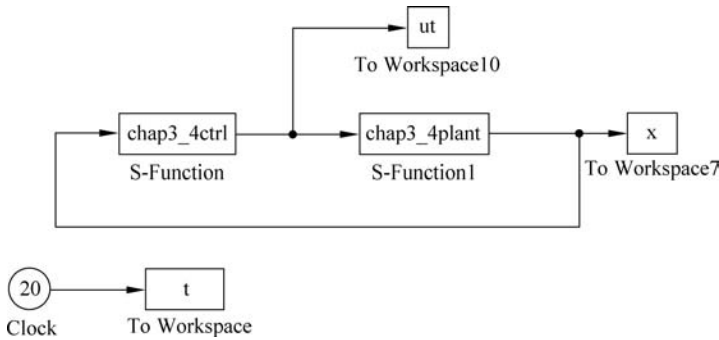


图 3.14 控制输入

仿真程序：

(1) Simulink 主程序：chap3_4sim.mdl。



(2) 控制器程序：chap3_4ctrl.m。

```
function [sys,x0,str,ts] = spacemodel(t,x,u,flag)
switch flag,
case 0,
    [sys,x0,str,ts] = mdlInitializeSizes;
case 3,
    sys = mdlOutputs(t,x,u);
case {1,2,4,9}
    sys = [];
otherwise
    error(['Unhandled flag = ',num2str(flag)]);
end
function [sys,x0,str,ts] = mdlInitializeSizes
sizes = simsizes;
sizes.NumContStates = 0;
sizes.NumDiscStates = 0;
sizes.NumOutputs = 1;
sizes.NumInputs = 2;
sizes.DirFeedthrough = 1;
sizes.NumSampleTimes = 0;
```

```
sys = simsizes(sizes);
x0  = [];
str = [];
ts  = [];
function sys = mdlOutputs(t,x,u)
x1 = u(1);x2 = u(2);
c = 30;
s = c * x1 + x2;

xite = 3.0;
lamda = 1.6;

fai = 0.01;
if abs(s)<= fai
    s_sat = s/fai;
else
    s_sat = sign(s);
end

% ut = - xite * tanh(xite * s) - lamda * sign(s);
ut = - xite * tanh(xite * s) - lamda * s_sat;
sys(1) = ut;
```

(3) 被控对象程序：chap3_4plant.m。

```
function [ sys,x0,str,ts] = s_function(t,x,u,flag)
switch flag,
case 0,
    [sys,x0,str,ts] = mdlInitializeSizes;
case 1,
    sys = mdlDerivatives(t,x,u);
case 3,
    sys = mdlOutputs(t,x,u);
case {2, 4, 9 }
    sys = [];
otherwise
    error(['Unhandled flag = ',num2str(flag)]);
end
function [ sys,x0,str,ts] = mdlInitializeSizes
sizes = simsizes;
sizes.NumContStates  = 2;
sizes.NumDiscStates  = 0;
sizes.NumOutputs      = 2;
sizes.NumInputs       = 1;
sizes.DirFeedthrough = 0;
sizes.NumSampleTimes = 0;
sys = simsizes(sizes);
x0 = [0.1 0];
str = [];
ts = [];
function sys = mdlDerivatives(t,x,u)
ut = u(1);
dt = 1.5 * sin(t);
sys(1) = x(2);
sys(2) = ut + dt;
function sys = mdlOutputs(t,x,u)
sys(1) = x(1);
```

```

sys(2) = x(2);

(4) 做图程序：chap3_4plot.m。

close all;

figure(1);
plot(t,x(:,1),'k',t,x(:,2),'r','linewidth',2);
xlabel('time(s)');ylabel('x1 and x2');
legend('x1','x2');

figure(2);
plot(t,ut(:,1),'k','linewidth',2);
xlabel('time(s)');ylabel('control input');

```

3.5 基于 RBF 网络的输入受限滑模控制

3.5.1 系统描述

针对如下系统

$$\begin{aligned}\dot{x}_1 &= x_2 \\ \dot{x}_2 &= u + f_0(x) + d(t)\end{aligned}\tag{3.23}$$

其中， x_1 和 x_2 为状态，控制输入为 u ， $f_0(x)$ 为未知函数， $|d(t)| \leq D$ 为扰动。

控制目标为：在受限的控制输入下，实现 $t \rightarrow \infty$ 时， $x_1 \rightarrow 0, x_2 \rightarrow 0$ 。

3.5.2 RBF 神经网络逼近

采用 RBF 网络可实现未知函数 $f(x)$ 的逼近，RBF 网络算法为

$$f = \mathbf{W}^T \mathbf{h}(x) + \epsilon$$

其中， x 为网络的输入， $\mathbf{h}(x)$ 为高斯函数的输出， \mathbf{W} 为网络的理想权值， ϵ 为网络的逼近误差， $|\epsilon| \leq \epsilon_N$ ， $\mathbf{W} = [W_1 \quad \dots \quad W_n]^T$ ， $W_{\min} \leq |W_j| \leq W_{\max}, j = 1, 2, \dots, n$ 。

采用 RBF 逼近未知函数 f ，网络的输入取 $x = [x_1 \quad x_2]^T$ ，则 RBF 网络的输出为

$$\hat{f}(x) = \hat{\mathbf{W}}^T \mathbf{h}(x) \tag{3.24}$$

则

$$\tilde{f}(x) = f(x) - \hat{f}(x) = \mathbf{W}^T \mathbf{h}(x) + \epsilon - \hat{\mathbf{W}}^T \mathbf{h}(x) = \tilde{\mathbf{W}}^T \mathbf{h}(x) + \epsilon$$

并定义 $\tilde{\mathbf{W}} = \mathbf{W} - \hat{\mathbf{W}}$ 。

由于未知函数 $f(x)$ 有界，则 $\hat{f}(x)$ 有界，可令 $|\hat{f}(x)| \leq \hat{f}_{\max}$ 。

3.5.3 控制器的设计及分析

取滑模函数为

$$s = cx_1 + x_2$$

其中, $c > 0$ 。

定义 Lyapunov 函数为

$$V = \frac{1}{2}s^2 + \frac{1}{2\gamma}\tilde{\mathbf{W}}^T\tilde{\mathbf{W}} \quad (3.25)$$

其中, $\gamma > 0$ 。

则

$$\begin{aligned} \dot{V} &= s\dot{s} - \frac{1}{\gamma}\tilde{\mathbf{W}}^T\dot{\tilde{\mathbf{W}}} \\ &= s(cx_2 + u + f_0(x) + d(t)) - \frac{1}{\gamma}\tilde{\mathbf{W}}^T\dot{\tilde{\mathbf{W}}} \\ &= s(u + f(x) + d(t)) - \frac{1}{\gamma}\tilde{\mathbf{W}}^T\dot{\tilde{\mathbf{W}}} \end{aligned}$$

其中, $f(x) = cx_2 + f_0(x)$ 。

设计控制律为

$$u = -\eta \tanh(\eta s) - \hat{f}(x) - \lambda \operatorname{sgn}s \quad (3.26)$$

其中, $\eta > 0, \lambda \geq D + \epsilon_N + \lambda_0, \lambda_0 > 0$ 。

则

$$\begin{aligned} \dot{V} &= s(-\eta \tanh(\eta s) - \hat{f}(x) + f(x) + d(t)) - \frac{1}{\gamma}\tilde{\mathbf{W}}^T\dot{\tilde{\mathbf{W}}} \\ &= s(-\eta \tanh(\eta s) + \tilde{\mathbf{W}}^T \mathbf{h}(\mathbf{x}) + \epsilon + d - \lambda \operatorname{sgn}s) - \frac{1}{\gamma}\tilde{\mathbf{W}}^T\dot{\tilde{\mathbf{W}}} \\ &= -\eta s \tanh(\eta s) + \tilde{\mathbf{W}}^T \left(\mathbf{h}(\mathbf{x})s - \frac{1}{\gamma}\dot{\tilde{\mathbf{W}}} \right) + \epsilon s + ds - \lambda |s| \end{aligned}$$

如果按照传统方法, 设计自适应律为

$$\dot{\hat{\mathbf{W}}} = \gamma \mathbf{h}(\mathbf{x})s \quad (3.27)$$

按上式设计自适应律, $\hat{\mathbf{W}}$ 的界无法设定, 从而无法得到 $\hat{f}(x)$ 的界。

由于 $f(x)$ 有界, 为了实现该函数的有界逼近, 采用神经网络有界映射自适应律^[4]。首

先设计投影映射算子, 考虑 $\tilde{\mathbf{W}} = \mathbf{W} - \hat{\mathbf{W}}$, 定义 $\xi = \mathbf{h}(\mathbf{x})s$, 为了保证 $\tilde{\mathbf{W}}^T \left(\mathbf{h}(\mathbf{x})s - \frac{1}{\gamma}\dot{\hat{\mathbf{W}}} \right) \leq 0$, 且

$\mathbf{W}_{\min} \leq |\hat{\mathbf{W}}_j| \leq \mathbf{W}_{\max}$, 取

$$\dot{\hat{\mathbf{W}}}_j = \gamma \operatorname{proj}_{\hat{\mathbf{W}}}(\xi_j)$$

其中

$$\operatorname{proj}_{\hat{\mathbf{W}}}(\xi_j) = \begin{cases} 0, & \hat{\mathbf{W}}_j \geq \mathbf{W}_{\max}, \xi_j > 0 \\ 0, & \hat{\mathbf{W}}_j \leq \mathbf{W}_{\min}, \xi_j < 0 \\ \xi_j, & \text{其他} \end{cases} \quad (3.28)$$

取 $\operatorname{proj}_{\hat{\mathbf{W}}}(\xi) = \{\operatorname{proj}_{\hat{\mathbf{W}}}(\xi_j)\}$, 则有界映射自适应律为

$$\dot{\hat{W}} = \gamma \text{proj}_{\hat{W}}(\xi) \quad (3.29)$$

采用自适应律式(3.29),可保证

$$\tilde{W}^T \left(h(x)_s - \frac{1}{\gamma} \dot{\hat{W}} \right) \leq 0$$

由于 $\eta s \tanh(\eta s) > 0, \varepsilon s + ds - \lambda |s| \leq \lambda_0 |s|$ 则

$$\dot{V} \leq -\lambda_0 |s|$$

从而实现 V 的渐进收敛,当 $t \rightarrow \infty$ 时, $s \rightarrow 0$, 即 $x_1 \rightarrow 0, x_2 \rightarrow 0$ 且渐进收敛。

由于 $\tanh(x) = \frac{e^x - e^{-x}}{e^x + e^{-x}} \in [-1, +1]$, 则由式(3.26)可得控制输入幅值为

$$|u| \leq \eta + \hat{f}_{\max} + \lambda$$

因此,针对模型式(3.23)的结构,按式(3.26)设计控制律,并按式(3.29)设计自适应律,通过设计 η, λ 、RBF 网络隐含层节点和 W_{\max} ,便可实现控制输入的受限。

3.5.4 仿真实例

考虑被控对象为式(3.23),初始状态为 $[0.5 \ 0]$ 。RBF 网络采用 5 个隐含层节点,即 $n=5$,则 $\hat{f}_{\max}(x) = \hat{W}^T h(x) \leq \|\hat{W}\| \|h(x)\| \leq 5W_{\max}$ 。根据网络输入 x_2 的实际范围来设计高斯基函数的参数,参数 c_i 和 b_i 取值分别为 $[-1 \ -0.5 \ 0 \ 0.5 \ 1]$ 和 3.0。网络权值中各个元素的初始值取 0.10。

按式(3.26)设计控制律中,采用饱和函数方法,取边界层厚度 Δ 为 0.10。按式(3.29)设计自适应律,取 \hat{W} 的初始值为 0.1,取 $W_{\min} = -1.0, W_{\max} = 1.0, \gamma = 0.10, \lambda = 1.0, \eta = 10$,则

$$|u| \leq \eta + \hat{f}_{\max} + \lambda \leq 10 + 5 + 1 = 16$$

仿真结果如图 3.15~图 3.17 所示。

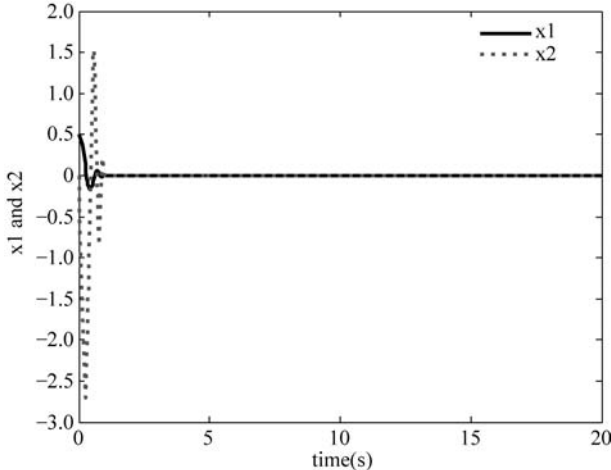


图 3.15 状态响应

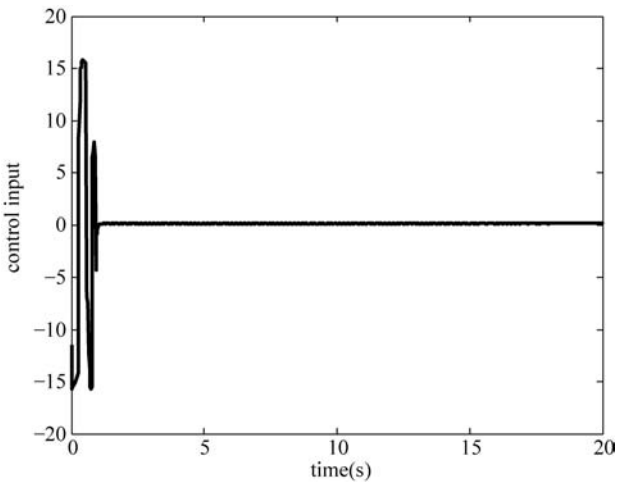
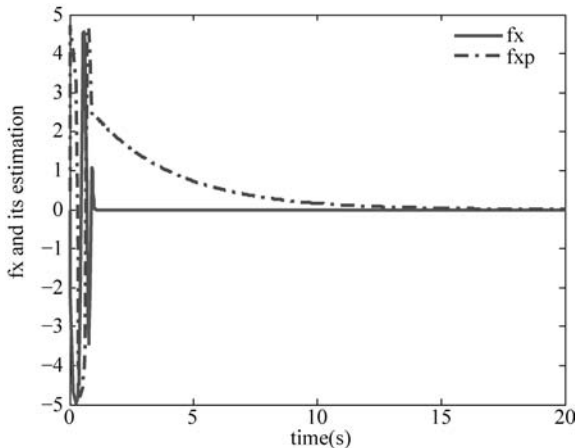
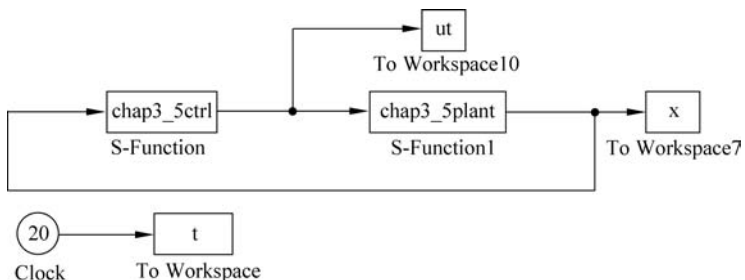


图 3.16 控制输入

图 3.17 $f(x)$ 及其逼近效果

仿真程序：

(1) Simulink 主程序：chap3_5sim. mdl。



(2) 控制器程序：chap3_5ctrl. m。

```
function [ sys, x0, str, ts ] = spacemodel(t,x,u,flag)
```

```
switch flag,
case 0,
    [ sys,x0,str,ts] = mdlInitializeSizes;
case 1,
    sys = mdlDerivatives(t,x,u);
case 3,
    sys = mdlOutputs(t,x,u);
case {2,4,9}
    sys = [ ];
otherwise
    error(['Unhandled flag = ',num2str(flag)]);
end
function [ sys,x0,str,ts] = mdlInitializeSizes
global bj cij
cij = [ -1 - 0.5 0 0.5 1;
        -1 - 0.5 0 0.5 1];
bj = 3.0;

sizes = simsizes;
sizes.NumContStates = 5;
sizes.NumDiscStates = 0;
sizes.NumOutputs = 2;
sizes.NumInputs = 3;
sizes.DirFeedthrough = 1;
sizes.NumSampleTimes = 0;
sys = simsizes(sizes);
x0 = [ 0.1 0.1 0.1 0.1 0.1];
str = [ ];
ts = [ ];
function sys=mdlDerivatives(t,x,u)
global bj cij

x1 = u(1);x2 = u(2);
c = 30;
s = c * x1 + x2;

xi = [ x1;x2];
h = zeros(5,1);
for j = 1:1:5
    h(j) = exp( - norm(xi - cij(:,j))^2/(2 * bj^2));
end

gama = 10;
W = [ x(1) x(2) x(3) x(4) x(5) ];
Wmin = - 1;Wmax = 1;

for j = 1:1:5
    % dw(j) = gama * h(j) * s;
    % sys(j) = dw(j);

    Kesi(j) = h(j) * s;
    if W(j)>= Wmax&Kesi(j)> 0
        Proj_w(j) = 0;
    elseif W(j)<= Wmin&Kesi(j)< 0
        Proj_w(j) = 0;
    else
```

```
Proj_w(j) = Kesi(j);
end
dw(j) = gama * Proj_w(j);
sys(j) = dw(j);
end

function sys = mdlOutputs(t,x,u)
global bj cij
x1 = u(1);x2 = u(2);
c = 30;
s = c * x1 + x2;

xi = [x1;x2];
h = zeros(5,1);
for j = 1:1:5
    h(j) = exp(-norm(xi - cij(:,j))^2/(2 * bj^2));
end

W = [x(1) x(2) x(3) x(4) x(5)];
fp = W * h;

xite = 10;
lamda = 1.0;

fai = 0.02;
if abs(s)<= fai
    s_sat = s/fai;
else
    s_sat = sign(s);
end

% ut = - xite * tanh(xite * s) - fp - lamda * sign(s);
ut = - xite * tanh(xite * s) - fp - lamda * s_sat;

sys(1) = ut;
sys(2) = fp;
```

(3) 被控对象程序：chap3_5plant.m。

```
function [ sys,x0,str,ts ] = s_function(t,x,u,flag)
switch flag,
case 0,
    [ sys,x0,str,ts ] = mdlInitializeSizes;
case 1,
    sys = mdlDerivatives(t,x,u);
case 3,
    sys = mdlOutputs(t,x,u);
case {2, 4, 9 }
    sys = [];
otherwise
    error(['Unhandled flag = ',num2str(flag)]);
end
function [ sys,x0,str,ts ] = mdlInitializeSizes
sizes = simsizes;
sizes.NumContStates = 2;
sizes.NumDiscStates = 0;
```

```
sizes.NumOutputs      = 3;
sizes.NumInputs       = 2;
sizes.DirFeedthrough = 0;
sizes.NumSampleTimes = 0;
sys = simsizes(sizes);
x0 = [0.5 0];
str = [];
ts = [];
function sys = mdlDerivatives(t,x,u)
ut = u(1);
fx = 5 * tanh(x(2));
sys(1) = x(2);
sys(2) = ut - fx;
function sys = mdlOutputs(t,x,u)
fx = 5 * tanh(x(2));

sys(1) = x(1);
sys(2) = x(2);
sys(3) = fx;
```

(4) 做图程序：chap3_5plot.m。

```
close all;

figure(1);
plot(t,x(:,1), 'k', t,x(:,2), 'r', 'linewidth', 2);
xlabel('time(s)'); ylabel('x1 and x2');
legend('x1', 'x2');

figure(2);
plot(t,ut(:,1), 'k', 'linewidth', 2);
xlabel('time(s)'); ylabel('control input');

figure(3);
plot(t,x(:,3), 'r', t,ut(:,2), '-.b', 'linewidth', 2);
xlabel('time(s)'); ylabel('fx and its estimation');
legend('fx', 'f_xp');
```

参考文献

- [1] Bechlioulis C P, Rovithakis G A. Robust Adaptive Control of Feedback Linearizable MIMO Nonlinear Systems with Prescribed Performance[J]. IEEE Transactions on Automatic Control, 2008,53(9): 2090-2099.
- [2] Bechlioulis C P, Rovithakis G A. Adaptive Control with Guaranteed Transient and Steady State Tracking Error Bounds for Strict Feedback Systems, Automatica[J]. 2009,45(2): 532-538.
- [3] Bechlioulis C P, Rovithakis G A. Prescribed Performance Adaptive Control for Multi-Input Multi-Output Affine in the Control Nonlinear Systems[J]. IEEE Transactions on Automatic Control, 2010,55(5): 1220-1226.
- [4] Gong J Q, Yao B. Neural Network Adaptive Robust Control of Nonlinear Systems[C]// Semi-strict Feedback Form, Automatica, 2001, 37(8): 1149-1160.